

1. Математическая постановка задачи

В области $D \subset \mathbb{R}^2$, ограниченной контуром γ , рассматривается дифференциальное уравнение Пуассона:

$$-\Delta u = f(x, y) \quad (1)$$

в котором оператор Лапласа

$$\Delta u = \frac{\partial^2 u}{\partial x^2} + \frac{\partial^2 u}{\partial y^2}$$

функция $f(x, y)$ считается известной. Для выделения единственного решения уравнение дополняется граничными условием Дирихле (см. [1]):

$$u(x, y) = 0, (x, y) \in \gamma \quad (2)$$

Требуется найти функцию $u(x, y)$, удовлетворяющую уравнению (1) в области D и краевому условию (2) на ее границе.

Требуется приближенно найти решение задачи (1),(2) для случая, когда $f(x, y) = 1$ при всех $(x, y) \in D$. Конкретное задание определяется геометрией области D .

5. трапеция с вершинами в точках $A(-3,0), B(3,0), C(2,3), D(-2,3)$;

$\Pi = \{(x, y): A_1 < x < B_1, A_2 < y < B_2\}$.

$$\hat{D} = \Pi \setminus \bar{D}$$

Выберем и зафиксируем малое $\varepsilon > 0$. (Выполняя расчеты, считать константу ε метода фиктивных областей равной h^2 , где $h = \max(h_1, h_2)$ - наибольший шаг сетки $\bar{\omega}_h$.)

$$\begin{aligned} -\frac{\partial}{\partial x} \left(k(x, y) \frac{\partial v}{\partial x} \right) - \frac{\partial}{\partial y} \left(k(x, y) \frac{\partial v}{\partial y} \right) &= F(x, y), (x, y) \in D \\ v(x, y) &= 0, \text{ when } (x, y) \text{ on the boundary of the trapezoid} \end{aligned} \quad (3)$$

$$k(x, y) = \begin{cases} 1, & (x, y) \in D, \\ \frac{1}{\varepsilon}, & (x, y) \in \hat{D} \end{cases} \quad (4)$$

$$F(x, y) = \begin{cases} f(x, y), & (x, y) \in D \\ 0, & (x, y) \in \hat{D}. \end{cases} \quad (5)$$

Последнее означает, что в каждой точке $(x_0, y_0) \in \gamma \cap \Pi$ должно выполняться равенство:

$$\lim_{(x, y) \rightarrow (x_0, y_0), (x, y) \in D} (W(x, y), n(x_0, y_0)) = \lim_{(x, y) \rightarrow (x_0, y_0), (x, y) \in \hat{D}} (W(x, y), n(x_0, y_0)) \quad (6)$$

где $n(x, y)$ - вектор единичной нормали к границе γ в точке (x, y) , определенный всюду или почти всюду на кривой.

Известно [2], что функция $v(x, y)$ равномерно приближает решение $u(x, y)$ задачи (1),(2) в области D , а именно,

$$\max_{P \in D} |v(x, y) - u(x, y)| < C\varepsilon, \quad C > 0 \quad (7)$$

2 . Разностная схема решения задачи.

Краевые задачу (3),(6) предлагается решать численно методом конечных разностей [3 В замыкании прямоугольника $\bar{\Pi}$ определяется равномерная прямоугольная сетка $\bar{\omega}_h = \bar{\omega}_1 \times \bar{\omega}_2$, где

$$\bar{\omega}_1 = \{x_i = A_1 + ih_1, i = \overline{0, M}\}, \bar{\omega}_2 = \{y_j = A_2 + jh_2, j = \overline{0, N}\}.$$

Здесь $h_1 = (B_1 - A_1)/M, h_2 = (B_2 - A_2)/N$.

$$(u, v) = \sum_{i=1}^{M-1} \sum_{j=1}^{N-1} h_1 h_2 u_{ij} v_{ij}, \quad \|u\|_E = \sqrt{(u, u)} \quad (8)$$

В методе конечных разностей дифференциальная задача математической физики заменяется конечно-разностной операторной задачей вида

$$Aw = B, \quad (9)$$

Дифференциальное уравнение задачи (3) во всех внутренних точках сетки аппроксимируется разностным уравнением:

$$-\frac{1}{h_1} \left(a_{i+1j} \frac{w_{i+1j} - w_{ij}}{h_1} - a_{ij} \frac{w_{ij} - w_{i-1j}}{h_1} \right) - \frac{1}{h_2} \left(b_{ij+1} \frac{w_{ij+1} - w_{ij}}{h_2} - b_{ij} \frac{w_{ij} - w_{ij-1}}{h_2} \right) = F_{ij}, \quad (10)$$

$$i = \overline{1, M-1}, j = \overline{1, N-1}$$

в котором коэффициенты:

$$a_{ij} = \frac{1}{h_2} \int_{y_{j-1/2}}^{y_{j+1/2}} k(x_{i-1/2}, t) dt, \quad b_{ij} = \frac{1}{h_1} \int_{x_{i-1/2}}^{x_{i+1/2}} k(t, y_{j-1/2}) dt \quad (11)$$

при всех $i = \overline{1, M}, j = \overline{1, N}$. Здесь полуцелые узлы

$$x_{i \pm 1/2} = x_i \pm 0.5h_1, \quad y_{j \pm 1/2} = y_j \pm 0.5h_2$$

Правая часть разностного уравнения

$$F_{ij} = \frac{1}{h_1 h_2} \iint_{\Pi_{ij}} F(x, y) dx dy, \quad \Pi_{ij} = \{(x, y): x_{i-1/2} \leq x \leq x_{i+1/2}, y_{j-1/2} \leq y \leq y_{j+1/2}\} \quad (12)$$

при всех $i = \overline{1, M-1}, j = \overline{1, N-1}$.

Введем обозначения правой и левой разностных производных по переменным x, y соответственно:

$$w_{x,ij} = \frac{w_{i+1j} - w_{ij}}{h_1}, \quad w_{\bar{x},ij} = w_{x,i-1j} = \frac{w_{ij} - w_{i-1j}}{h_1}$$

$$w_{y,ij} = \frac{w_{ij+1} - w_{ij}}{h_2}, \quad w_{\bar{y},ij} = w_{y,ij-1} = \frac{w_{ij} - w_{ij-1}}{h_2}$$

С учетом принятых обозначений разностное уравнение (10) можно представить в более компактном и удобном виде::

$$-(aw_{\bar{x}})_{x,ij} - (bw_{\bar{y}})_{y,ij} = F_{ij}, \quad i = \overline{1, M-1}, j = \overline{1, N-1} \quad (13)$$

Краевые условия Дирихле задачи (3),(6) аппроксимируются точно равенством:

$$w_{ij} = w(x_i, y_j) = 0, \quad (x_i, y_j) \in \Gamma \quad (14)$$

3. Метод решения системы линейных алгебраических уравнений.

Приближенное решение системы уравнений (2) для сформулированных выше краевых задач может быть получено итерационным методом наименьших невязок. Этот метод позволяет получить последовательность сеточных функций $w^{(k)} \in H, k = 1, 2, \dots$, сходящуюся по норме пространства H к решению разностной схемы, т.е.

$$\|w - w^{(k)}\|_E \rightarrow 0, \quad k \rightarrow +\infty$$

Начальное приближение $w^{(0)}$ можно выбрать любым способом, например, равным нулю во всех точках расчетной сетки.

Метод является одношаговым. Итерация $w^{(k+1)}$ вычисляется по итерации $w^{(k)}$ согласно равенствам:

$$w_{ij}^{(k+1)} = w_{ij}^{(k)} - \tau_{k+1} r_{ij}^{(k)}$$

где невязка $r^{(k)} = Aw^{(k)} - B$, итерационный параметр

$$\tau_{k+1} = \frac{[Ar^{(k)}, r^{(k)}]}{\|Ar^{(k)}\|_E^2}$$

В качестве условия остановки итерационного процесса следует использовать неравенство

$$\|w^{(k+1)} - w^{(k)}\|_E < \varepsilon$$

где ε - положительное число, определяющее точность итерационного метода. Оценку точности приближенного решения сеточных уравнений (2) можно проводить в других нормах пространства сеточных функций, например, в максимум норме

$$\|w\|_c = \max_{x \in \bar{W}_h} |w(x)|$$

Константу ε для данной задачи предлагается взять равной 10^{-6} .

4. краткое описание проделанной работы по созданию OpenMP-программы.

Размер матрицы A в уравнении (2) равен $((M - 1) \times (N - 1)) \times ((M - 1) \times (N - 1))$.

Описание переменных:

MatrA_index - индекс столбца элемента в матрице, который не равен 0.

MatrA_val - Значение элемента в матрице, который не равен 0.

Matr_map - матрица результатов.

VecB - вектор B .

VecRes - результирующий вектор.

struct CSR - разреженная матрица

const double A1 = -3, *B1* = 3; // x

const double A2 = 0, *B2* = 3; // y

Описание функции:

Функция *func_k* возвращает значение функции $k(x, y)$

Функция *func_F* возвращает значение функции $F(x, y)$

Функция *calculate_aij* вспомогательная функция для расчета a_{ij}

Функция *calculate_bij* вспомогательная функция для расчета b_{ij}

Функция *calculate_Fij* вспомогательная функция для расчета F_{ij}

Функция *Filling_MatrA_VecB()* заполняет матрицу A и вектор B по формуле из главы 2.

Функция *Change_Matr_to_CSR()* преобразует *MatrA_index* и *MatrA_val* в разреженную матрицу CSR.

Функция *SpMV()* вычисляет произведение разреженных матриц и векторов.

Функция *Axru()* представляет собой линейное вычисление вектора.

Функция *Vcopy()* скопирует вектор.

Функция *Vdiff()* вычисляет разность двух векторов.

Функция *Dot()* вычисляет скалярное произведение.

Функция *Norm_Vec()* вычисляет норму вектора.

Функция *Slove_SOE_sequential()* использует метод наименьших невязок для решения уравнения.

Функция *Get_map()* переводит результирующий вектор в плоскость.

Для последовательного программного кода я использую вышеуказанные функции, подробности см. в «trymain_seq.c».

log	sequential	M N	iteration	time/s	initial_value	eps
log10_seq	try.1184839	10 10	390	0.000000s	1.44	0.000005
log20_seq	try.1184860	20 20	6020	0.340000s	1.44	0.000005
log40_seq	try.1184749	40 40	73862	17.350000s	1.44	0.000005

try.1184916	80 90	906554	1008.18	1.44	0.000005
My_PC	160 180	6111612	5234.344	1.44	0.000005

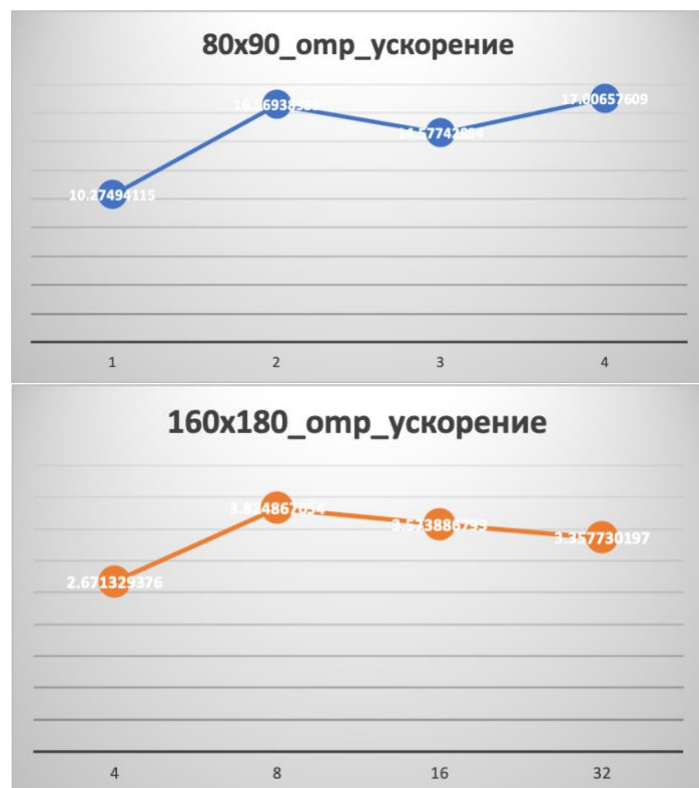
< task1_omp.c>

Реализация программы с использованием OpenMP:

OpenMP	thread	queue	M N	iteration	time/s
omp_t.1185684	1	normal	40 40	73862	3.708259s
omp_t.1185678	2	normal	40 40	73862	3.059998s
omp_t.1185678	4	normal	40 40	73862	2.339716s
omp_t.1185678	16	normal	40 40	73862	2.729556s

ускорение = $T(\text{sequential}) / T(\text{Parallel})$

OpenMP	thread	queue	M N	iteration	time/s	ускорение
1 omp_t.1185637	2	normal	80 90	906554	98.12027	10.2749411513034
2 omp_t.1185637	4	normal	80 90	906554	60.845934	16.5693898297296
3 omp_t.1185637	8	normal	80 90	906554	69.160344	14.5774289381788
4 omp_t.1185637	16	normal	80 90	906554	59.281774	17.0065760852568
1 run.1192366.out	4	normal	160 180	6111612	1959.452865	2.67132937642774
2 run.1192365.out	8	normal	160 180	6111612	1368.503513	3.8248670538853
3 run.1192001.out	16	normal	160 180	6111612	1464.608227	3.57388679341346
4 run.1191991.out	32	normal	160 180	6111612	1558.893566	3.35773019670029



Get the Solution image using Python :

Result_file in Polus : edu-cmc-skmodel24-604-04@polus.hpc.cs.msu.ru:/home_edu/edu-cmc-skmodel24-604/edu-cmc-skmodel24-604-04/

< MN40x40_omp_n8.out > < MN80x90_omp_n16.out > < Big_omp_n16.out >

